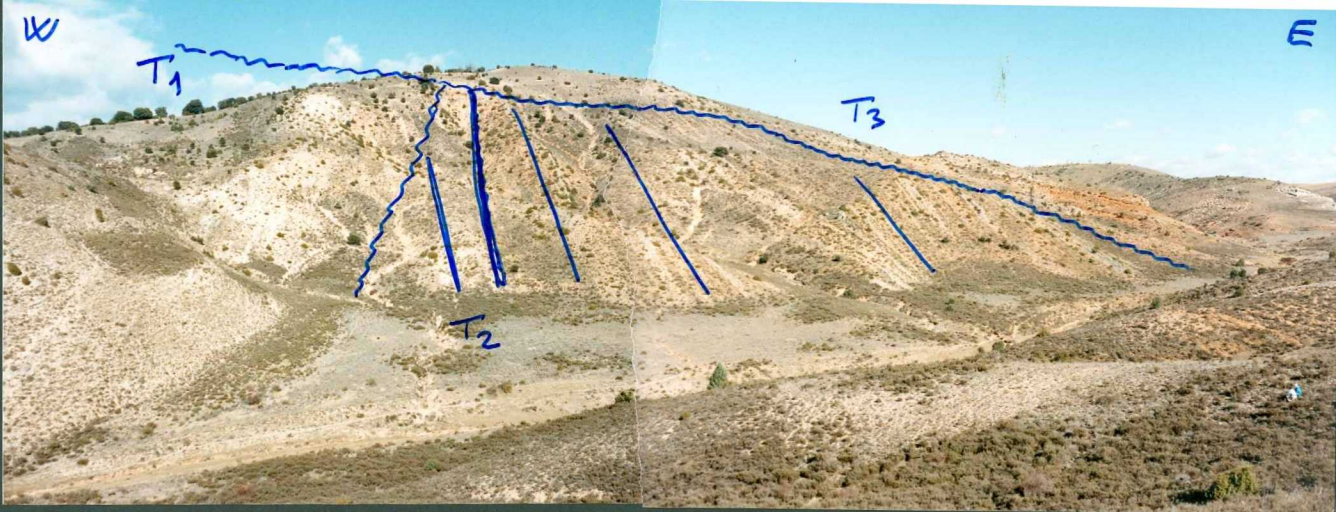
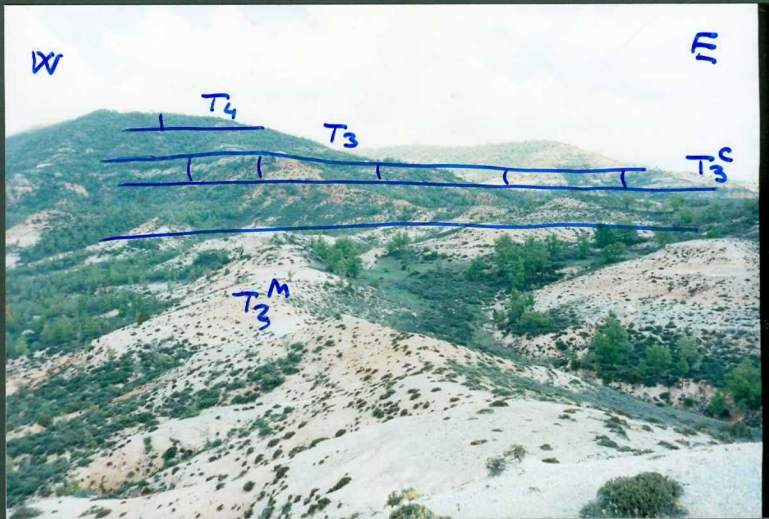




1 .- "Carniolas" de la parte alta del Cretaceo Superior del nucleo de
la estructura de Baides.



10 .- Idem anterior



- 11.- Desde los alrededores de Masegoso en la parte norte de la hoja de Cifuentes mirando hacia el Norte.
- Secuencias terrígenas → carbonatos que culminan en : T_3^M calizas de Masegoso, T_3^C calizas del Cogollar, T_4 caliza del escarpe de los páramos.



12 .- Panorámica desde el relieve del abanico de las Inviernas, hacia el pueblo de las Inviernas y hacia el paisaje correspondiente a la orla del abanico. Al fondo : rasa de las calizas del páramo.



14

13 a 18 .- Diversos afloramientos del abanico aluvial de Las Inviernas.



13 a 18 .- Diversos afloramientos del abanico aluvial de Las Inviernas.



13 a 18 .- Diversos afloramientos del abanico aluvial de Las Inviernas.

13 a 18 .- Diversos afloramientos del abanico aluvial de Las Inviernas.





13 a 18 .- Diversos afloramientos del abanico aluvial de Las Inviernas.



13 a 18 .- Diversos afloramientos del abanico aluvial de Las Inviernas?

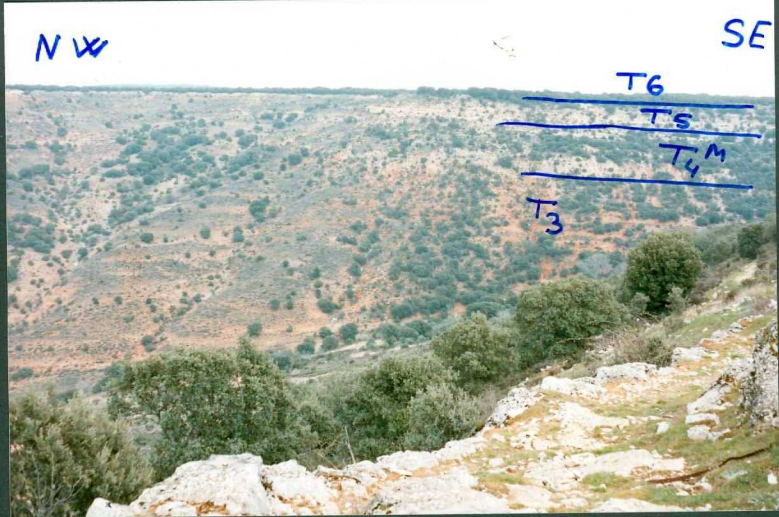


19 .- Escarpe de Castejón de Henares. Evolución horizontal y vertical
de lutitas rojas a calizas lacustres blancas.

S



2.- Serie estratigráfica de Baides. T_1^c y T_1^t serie pretectónica.
 T_2 serie sintectónica.



20 .- Desde Mirabueno hacia el Norte. Diversos tramos diferenciables en las calizas del páramo.



21 .- Siguiente espolón más al Norte del anterior (foto. 20). T_4^M está pasando a lutitas rojas, T_5 lutitas, T_6 caliza en posición de "tabla de páramo". La serie translapa hacia el N sobre la discordancia - relieve de Cretaceo plegado de la Cadena Ibérica.



22 .- Cavidades kársticas en calizas lacustres rellenas de arcillas rojas.



23 .- Depósitos rojos en el fondo de una cavidad kárstica. Inicio de la bajada de la carretera de la N-II hacia Mandayona.



24 .- Colapso de margas del T₅ sobre karst en calizas infrayacentes.
Mismo lugar que foto 23 .



25 .- Escuela de Mandayona. Relleno cuaternario de un paleonivel de base de encajamiento del valle del río Dulce. Arenas, limos y encima travertinos justo debajo de la rasa donde se sitúa la escuela.

E

W



- 3.- En primer término el pueblo de Baides. Detrás del pueblo la serie de T_1^c vertical. Al fondo, a la derecha, calizas T_1^c subhorizontales del alto de Baides suprayacentes a yesos (G); nótese cantera de yesos. Discordancias base de T_2 y base de T_3 .

E

W

 T_3 T_2 

4.- Prolongación hacia el E de la vista anterior.



5 .- Vista desde lo alto del cerro de calizas T_1^c , situado al N de Baides, hacia la serie T_1^t de colores pardos. Al fondo : conglomerados de la serie horizontal T_3 .



6.- Dentro del tramo terrígeno de T_1^t , canales de arénisca de extensión limitada según la corrida del afloramiento.

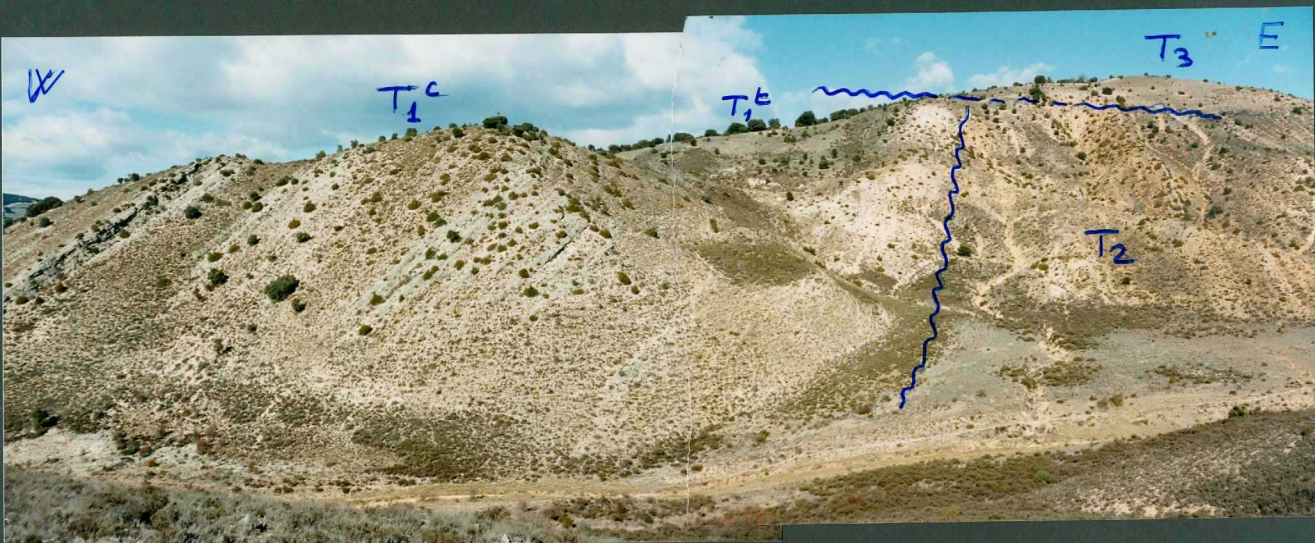


7

.- Idem a fotografía 5.



8 .- Serie de T_2 en carretera de Baides a Sigüenza. Señales de raíces en tramo margoso antes de llegada de nivel de areniscas, con cantos.



9 .- Ladera norte del barranco de Valdelagua. Vista panorámica de las dos discordancias dentro del Terciario. T_1 : serie volcada (45° al W) ; T_2 serie sintectónica entre las dos discordancias (vertical); T_3 Conglomerado de la serie T_3 posttectónica.